

## Генерация траекторий оптимальных кривых беспилотного летательного аппарата для обхода статического препятствия

*Д.Л. Винокурский, К.Ю. Ганьшин, О.С. Мезенцева, Ф.В. Самойлов.*

*Северо-Кавказский федеральный университет, Ставрополь*

**Аннотация:** В данной работе представлен алгоритм обнаружения и обхода препятствия одиночным беспилотным летательным аппаратом. Предложенный способ представляет собой расширенную версию предыдущей работы с добавлением возможности по предотвращению столкновений на основе построения дополнительной кривой обхода на основе алгоритма де Кастельжо. В этой работе авторы предложили способ генерации траекторий, в котором используются кривые Безье со свойствами годографа Пифагора.

**Ключевые слова:** беспилотный летательный аппарат, полиномы Бернштейна-Безье, годограф Пифагора, генерация траекторий, обход препятствия, программное движение.

### Введение

Траекторное управление - сложная задача, которая зачастую требует описания определённого решения при разработке робототехнических систем. В данной задаче наиболее часто выделяются две подзадачи: генерация оптимальных траекторий и определение методов обхода препятствий. На сегодняшний день в различных публикациях описаны методы построения оптимальных траекторий в зависимости от кинематических и динамических ограничений, влияния окружающей среды и выполняемой задачи.

Основными алгоритмами построения траектории беспилотного летательного аппарата (БПЛА) являются: диаграмма Вороного [1-2], алгоритм Дейкстры [3], метод теории графов [4], методы оптимизации (линейное и нелинейное программирование) [5-6], целочисленное программирование [7-8], методы нечеткой логики и оптимизации траектории генетическими алгоритмами [9-11].

В данной статье авторы используют алгоритм генерации траектории на основе кривых Безье пятого порядка со свойствами годографа Пифагора с разложением по полиномам Бернштейна [12-13]. Применение подобного генератора траекторий обусловлено сниженной вычислительной сложностью задания кривых, легкостью их дифференцирования и возможностью точного определения длины пути. Для успешной работы необходимо иметь возможность перестраивать траектории за как можно меньшее время для избежания столкновений. В данной работе представлен метод определения

---

оптимальной кривой Безье, основанный на предыдущей работе авторов [14], а также модифицированный метод обхода препятствий на основе алгоритма де Кастельжо, предложенный в работе [15]. Описываемый в настоящей работе способ позволяет избегать неподвижных препятствий.

Описанный метод имеет ограничение в виде отсутствия способности обхода динамических препятствий. Траектория кривой представлена как вектор разделения препятствия и транспортного средства в зависимости от времени. Для предотвращения столкновений строится обходная кривая на основе годографа Пифагора.

### Генерация траектории

Кривые Безье со свойствами годографа Пифагора выбраны в качестве траекторий следования БПЛА. Если принять во внимание тот факт, что данные кривые третьего порядка (кубики) по сути своей являются лишь одной кривой – кривой Чирнхауза, а значит не обладают должной «гибкостью», было решено использовать кривые пятого порядка (квинтики).

Задание кривых с годографом Пифагора осуществляется за счёт указания первых двух и последних двух контрольных точек  $(p_0, p_1, p_4, p_5)$ , определяющих кривую Безье пятого порядка. Однако, в случае использования БПЛА, возможно представить задание не четырёх точек, а двух точек (начальную и конечную) и скоростей при них  $(p_0, p_5, \dot{p}_0, \dot{p}_5)$ ; из последних легко вычислить координаты точек  $p_1$  и  $p_4$ . Далее производится определение оставшихся точек  $p_2$  и  $p_3$ , для чего применяются интерполяция Эрмита. Учитывая, что годографы заданы, как:

$$x'(t) = u^2(t) - v^2(t), \quad y'(t) = 2u(t)v(t) \quad (1)$$

, где  $u(t)$  и  $v(t)$  можно представить в виде многочленов:

$$u(t) = u_0(1-t)^2 + u_1 2(1-t)t + u_2 t^2 \quad (2)$$

$$v(t) = v_0(1-t)^2 + v_1 2(1-t)t + v_2 t^2 \quad (3)$$

, а контрольные точки  $p_2$  и  $p_3$  определяются, как:

$$p_2 = p_1 + \frac{1}{5}(u_0u_1 - v_0v_1, u_0v_1 + u_1v_0) \quad (4)$$

$$p_3 = p_2 + \frac{2}{15}(u_1^2 - v_1^2, 2u_1v_1) + \frac{1}{15}(u_0u_2 - v_0v_2, u_0v_2 + u_2v_0) \quad (5)$$

Интерполяция Эрмита позволяет определить коэффициенты  $u_0, u_1, u_2, v_0, v_1, v_2$ :

$$(u_0, v_0) = \pm \sqrt{\frac{5}{2}}(\sqrt{|p_1 - p_0| + (p_{1x} - p_{0x})}, \text{sign}(p_{1y} - p_{0y})\sqrt{|p_1 - p_0| - (p_{1x} - p_{0x})}) \quad (6)$$

$$(u_2, v_2) = \pm \sqrt{\frac{5}{2}}(\sqrt{|p_5 - p_4| + (p_{5x} - p_{4x})}, \text{sign}(p_{5y} - p_{4y})\sqrt{|p_5 - p_4| - (p_{5x} - p_{4x})}) \quad (7)$$

$$(u_1, v_1) = -\frac{3}{4}(u_0 + u_2, v_0 + v_2) + \sqrt{\frac{1}{2}}(\sqrt{c+a}, \text{sign}(b)\sqrt{c-a}), \quad (8)$$

, где  $c = \sqrt{a^2 + b^2}$ ,

$$a = \frac{9}{16}(u_0^2 - v_0^2 + u_2^2 - v_2^2) + \frac{5}{8}(u_0u_2 - v_0v_2) + \frac{15}{2}(p_{4x} - p_{1x}),$$

$$b = \frac{9}{8}(u_0v_0 + u_2v_2) + \frac{5}{8}(u_0v_2 + u_2v_0) + \frac{15}{2}(p_{4y} - p_{1y}),$$

$$\text{sign}(x) = \begin{cases} 1, & \text{при } x > 0 \\ \pm 1, & \text{при } x = 0. \\ -1, & \text{при } x < 0 \end{cases}$$

Отмечается, что решений всего 4, среди которых следует выбрать наиболее оптимальное. В данном случае выбор оптимального решения производится по критерию наименьшей длины получаемой кривой и

наименьшей кривизны в конечных точках. Такой подход выбран в связи с тем, что 4 разных решения интерполяции объединяются в две пары с равными длинами кривых, потому определение лишь наименьшего её значения оказывается недостаточным для однозначного выбора «хорошей» кривой. Длина кривой определяется следующим образом:

$$S = \frac{\sum_{i=0}^{n-1} \sigma_i}{n} \quad (9)$$

, здесь  $n=5$ ,  $\sigma_i$  – коэффициенты параметрической скорости  $\sigma(t)$ , которые в случае кривой пятого порядка представлены следующим образом:

$$\begin{aligned} \sigma_0 &= u_0^2 + v_0^2 \\ \sigma_1 &= u_0 u_1 + v_0 v_1 \\ \sigma_2 &= \frac{2}{3} (u_1^2 + v_1^2) + \frac{1}{3} (u_0 u_2 + v_0 v_2) \\ \sigma_3 &= u_1 u_2 + v_1 v_2 \\ \sigma_4 &= u_2^2 + v_2^2 \end{aligned} \quad (10)$$

Кривизна плоской кривой задаётся параметрически:

$$k(t) = \frac{[r'(t) \times r''(t)] \cdot z}{|r'(t)|^3} \quad (11)$$

Кривизна в конечных точках:

$$k_{begin} = k(0) = 4 \frac{u_0 v_1 - u_1 v_0}{(u_0^2 + v_0^2)^2}, \quad k_{end} = k(1) = 4 \frac{u_1 v_2 - u_2 v_1}{(u_2^2 + v_2^2)^2} \quad (12)$$

Для поиска оптимальной кривой произведём суммирование кривизны конечных точек:

$$k_{sum} = |k_{begin}| + |k_{end}| \quad (13)$$

Далее, определим критерий оптимальной кривой следующим образом:

$$z = \begin{bmatrix} (1, 1) \\ (1, -1) \\ (-1, 1) \\ (-1, -1) \end{bmatrix}, \quad z_{opt} = z[\operatorname{argmin}_{i=0, \dots, 3} (S_i * k_{sum_i})] \quad (14)$$

Таким образом, определяется сочетание знаков при вычислении коэффициентов  $(u_0, v_0), (u_2, v_2)$  такое, что определяется произведение  $S * k_{sum}$  для каждого решения интерполяции Эрмита, среди которых находится лишь наименьшее.

Сами же кривые рассчитываются за счёт представления их в форме многочленов Бернштейна [14]:

$$r(t) = \sum_{k=0}^5 p_k C_5^k (1-k)^{5-k} t^k, \quad t \in [0, 1] \quad (15)$$

Для возможности указания реальных временных границ генерации параметрической кривой, используется минимакс-нормализация:

$$t = \frac{T - \min(T)}{\max(T) - \min(T)} \quad (16)$$

, где  $T$  – набор дискретных значений времени.

### Обход статичного препятствия

Предположим, что препятствие – статичная точка на плоскости  $p_o = [x, y]$ ,  $p_o \in \mathbb{R}^2$ ,  $x, y = const$ . Определим условие наличия столкновения следующим образом:

$$|r(t) - p_o| \leq d \quad (17)$$

где  $d$  – скаляр, определяющий радиус безопасности вокруг препятствия.

Зададим новую параметрическую кривую Безье  $r_c(t)$ , по которой возможно определять наличие пересечения между препятствием и заданной траекторией  $r(t)$ :

$$r_c(t) = r(t) - p_o = \sum_{k=0}^5 p_k C_5^k (1-k)^{5-k} t^k - p_o \quad (18)$$

Таким образом, условие наличия столкновения можно переопределить как:

$$\min_{t \in [0,1]} |r_c(t)| \leq d \quad (19)$$

Отсюда, определим минимальную дистанцию между траекторией и препятствием  $d_{min}$ , и момент времени данного сближения  $t_{min}$  следующим образом:

$$d_{min} = \min_{t \in [0,1]} |r_c(t)|, \quad t_{min} = \operatorname{argmin}_{t \in [0,1]} |r_c(t)| \quad (20)$$

В виду того, что в процессе полёта затруднительно пересчитывать всю кривую траектории, применим алгоритм де Кастельжо для разделения существующей траектории в двух точках, как описано в [15]:

$$r_{sub}(\tau) = r_c(t_{sub}^l + \tau(t_{sub}^u - t_{sub}^l)), \quad \tau \in [0, 1] \quad (21)$$

Вырезаемый сегмент кривой определяется на интервале  $[t_{sub}^l, t_{sub}^u]$ , таким образом алгоритм де Кастельжо выполняется на точках  $t = t_{sub}^l$  и  $t = t_{sub}^u$ . Данные параметры возможно определить следующим образом:

$$\begin{bmatrix} t_{sub}^l \\ t_{sub}^u \end{bmatrix} = \begin{cases} \left[ t_c, \frac{t_{cc} - t_c + \tau_{ds}^l t_c}{\tau_{ds}^l} \right]^T, & \text{при } \frac{t_{cc} - t_c}{1 - t_c} < \tau_{ds}^l, \\ \left[ \frac{t_{cc} - \tau_{ds}^u}{1 - \tau_{ds}^u}, 1 \right]^T, & \text{при } \frac{t_{cc} - t_c}{1 - t_c} > \tau_{ds}^u, \\ [t_{cc}, 1]^T, & \text{в остальных случаях} \end{cases} \quad (22)$$

Здесь  $t_c$  – момент времени обнаружения препятствия,  $t_{cc}$  – момент времени с предполагаемым столкновением.  $\tau$  – время, отсчитываемое с начала обнаружения препятствия, определяет так же точки разреза основной

кривой.  $\tau_{ds}^l$  и  $\tau_{ds}^u$  – границы окна столкновения. Очевидно, что  $t$  возможно спроецировать в  $\tau$ , причём сделать это можно, применив выражение (16):

$$proj(t) = \frac{t - t_{sub}^l}{t_{sub}^u - t_{sub}^l} \quad (23)$$

Определим траекторию обхода следующим образом:

$$r_{det}(\tau_{cc}, proj(t)) = Ks(\tau_{cc}, proj(t)) \frac{r_{sub}(\tau_{cc})}{|r_{sub}(\tau_{cc})|} \quad (24)$$

$$s(\tau_{cc}, \tau) = \sum_{k=0}^n \bar{s}_k(\tau_{cc}) b_k^n(\tau), \quad \bar{s}_k(\tau) = \begin{cases} \frac{b_k^n(\tau)}{\sum_{j=3}^{n-3} (b_j^n(\tau))^2}, & 3 \leq k \leq n-3 \\ 0 & \end{cases} \quad (25)$$

, здесь  $K$  – масштабный коэффициент, который определяется условием

$$\min_{\tau \in [\tau_{cc}^l, \tau_{cc}^u]} (|r_{det}(\tau_{cc}, \tau) + r_{sub}(\tau)|) > d \quad (26)$$

Таким образом, итоговая кривая вместе с кривой обхода, при условии, что  $t$  находится в границах времени разделения изначальной траектории  $[t_{sub}^l, t_{sub}^u]$ , примет вид:

$$r_{final}(t) = r(t) + r_{det}(\tau_{cc}, proj(t)) \quad (27)$$

### Аппаратно-программный комплекс

Предлагаемый подход экспериментально апробирован на миниатюрном четырёхроторном БПЛА Crazyflie 2.1. В виду малой массы (34 г) и ограниченной вычислительной мощности данного устройства, все вычисления и контроль производится на станции наземного контроля (СНК), представленной в виде персонального компьютера (ПК) и системы радиосвязи.

Обмен данными между СНК и БПЛА производится посредством системы радиосвязи диапазона ISM 2.4 ГГц CrazyRadio PA с заданной пропускной способностью в 2 Мб/с. БПЛА передаёт на СНК сведения о собственном местоположении в локальной навигационной системе (ЛНС) и о собственных углах поворота относительно горизонтальной плоскости земли. Для снижения ошибки позиционирования в ЛНС на БПЛА установлена дополнительно плата расширения с простой системой визуальной одометрии Flow Deck, определяющей смещение БПЛА относительно горизонтальной плоскости земли. ЛНС представляет из себя набор из 8 широкополосных СВЧ-радиомаяков, чьё местоположение относительно друг друга известно, расположенных в вершинах параллелепипеда, который и определяет допустимую область полёта БПЛА. Квадрокоптер использует оценочную функцию на основе расширенного фильтра Калмана, благодаря которому объединяет сведения от бортового приёмника ЛНС, системы визуальной одометрии и собственной инерциальной системы, что позволяет ему достаточно точно определять собственное местоположение в пространстве.

ПК собран на базе процессора Intel 2 поколения i5-2540m, оборудован 8 ГБ DDR3 RAM. Используется операционная система Ubuntu 20.04 LTS, метаоперационная система ROS Noetic, интерпретатор Python 3.6. Программное обеспечение написано на языке программирования Python 3.

### Эксперимент

Для проведения испытаний производится предварительная генерация траектории, состоящей из двух кривых Безье с годографом Пифагора. Забор данных о позиции с БПЛА производился каждые 25 мс с дальнейшей фильтрацией в дискретном ФНЧ для получения наиболее гладкой траектории при построении графиков. Препятствие представляет собой виртуальную точку, располагающуюся по координатам (9.3, 1.9), с безопасным радиусом,

равным 1 метру. Как видно из рис. 1 и 2, первый разрыв траектории произведён в точке  $(9.59, 3.19)$ , второй разрыв - в точке  $(9.84, 0.97)$ , между которыми добавлена новая траектория. В виду того, что кривые Безье с годографом Пифагора после интерполяции Эрмита определяются выражениями (11) - (14), а также невозможно построить в интервале разрыва путь обхода такой, чтобы итоговая кривая в местах разрыва оказалась дифференцируемой, произведено дополнительно переопределение основных секций (начальной и конечной) траекторий.

На рисунке 3 представлены графики скоростей: желаемой (сгенерированная кривая, сиреневая линия) и действительной (скорость реального БПЛА, красная линия). На графиках а, б рис.3 можно увидеть всплески в сгенерированной траектории в окрестностях точек  $t=0.45$ ,  $t=0.65$ , а также на графиках с, d в окрестностях точки  $t=0.5$ , свидетельствующие о наличии “склейки” кривых Безье, однако это не оказывает критического влияния на движение квадрокоптера в виду его инерциальности.

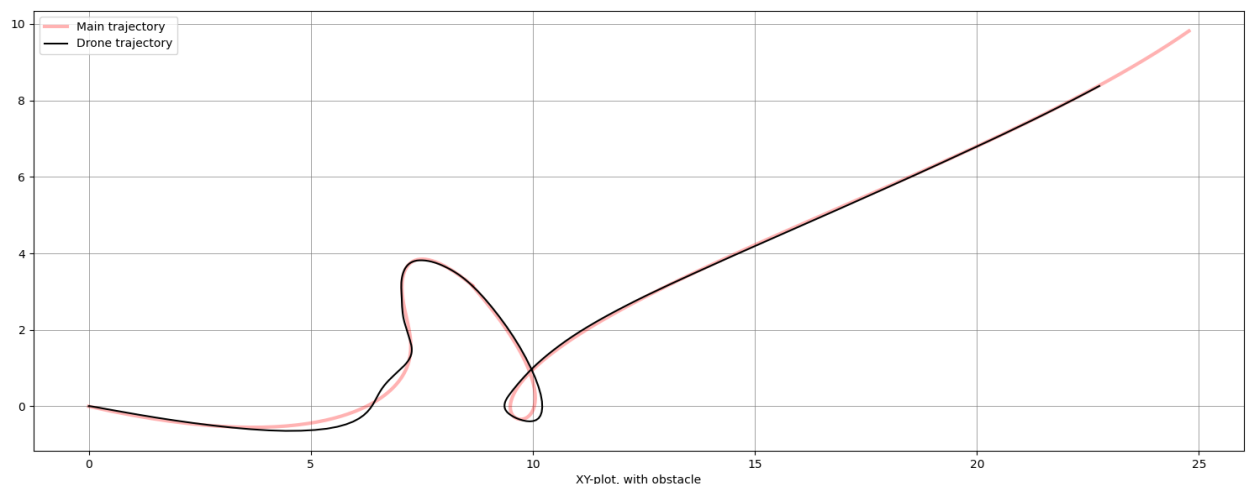


Рис. 1 — Начальная траектория, красным обозначена базовая траектория, чёрным - реальная траектория БПЛА

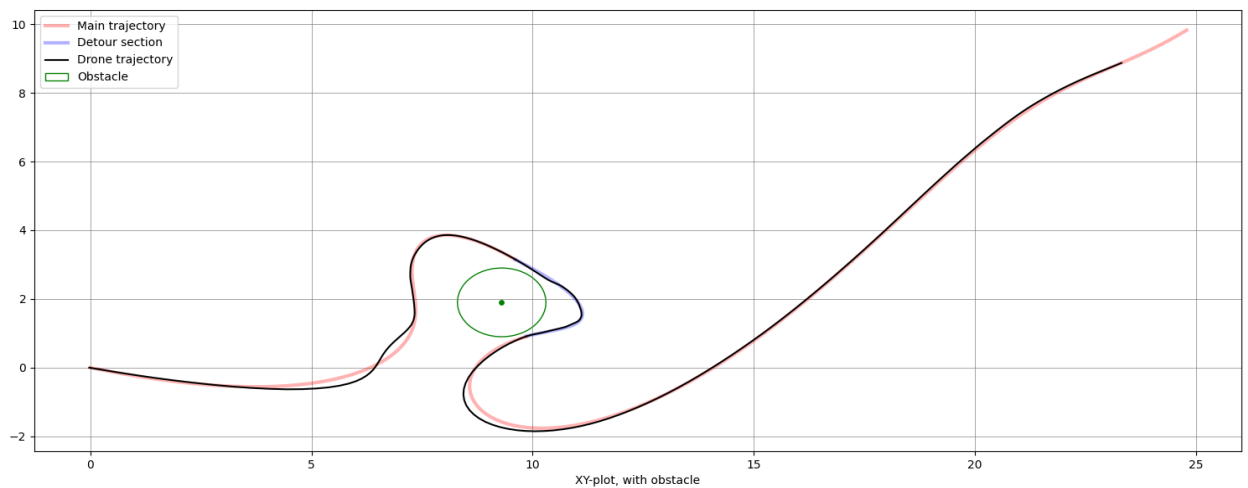


Рис. 2 — Обход препятствия, красным обозначена базовая траектория, синим - обход, зелёным - границы препятствия, чёрным - реальная траектория БПЛА

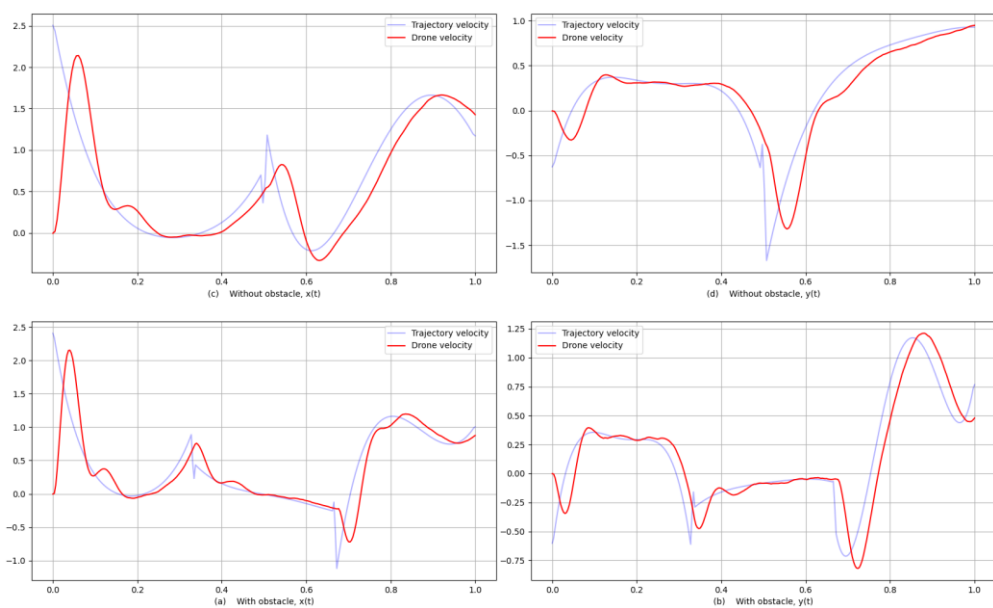


Рис. 3 — а, б - скорости по осям X и Y с препятствием; с, d - скорости по осям X и Y без обнаружения препятствия соответственно

### Выводы

В статье был представлен метод поиска оптимальной кривой Безье с годографом Пифагора, который был применён в также представленном алгоритме обнаружения и обхода препятствий на основе алгоритма де Кастельжо. Как показывают результаты представленного эксперимента,

выбор оптимальной кривой Безье работает удовлетворительно для задач построения траекторий полёта БПЛА: перегибы функций возникают не близ точек начала и конца кривых Безье и обладают малой кривизной, которая не вызывает больших расхождений между желаемыми и действительными координатами БПЛА. Тем не менее, возможно дальнейшее развитие метода оптимизации с возможностью указания требуемой кривизны для соответствия полётным характеристикам модели БПЛА.

Предложенный способ обхода препятствий позволяет изменять уже существующую траекторию для предотвращения столкновений. Как показывают результаты испытаний, в местах разрывов и соединений кривых Безье наличествуют выбросы функций уже при взятии первой производной. Подобное явление говорит о необходимости внедрения методов оптимизации соединения кривых по производным второго порядка, что приведёт к меньшим энергетическим затратам БПЛА. В будущем планируется расширение алгоритма и его улучшение с добавлением возможности обхода динамических препятствий и генерации более плавной траектории.

*Исследование выполнено при финансовой поддержке РФФИ в рамках научного проекта № 20-31-90060.*

### Литература

1. Tong H. et al. Path planning of UAV based on Voronoi diagram and DPSO // Procedia Engineering. – 2012. – Т. 29. – pp. 4198-4203.
2. Chen X., Chen X. The UAV dynamic path planning algorithm research based on Voronoi diagram // The 26th chinese control and decision conference (2014 ccdc). – IEEE, 2014. – pp. 1069-1071.
3. Medeiros F. L. L., Da Silva J. D. S. A Dijkstra algorithm for fixed-wing UAV motion planning based on terrain elevation // Brazilian Symposium on Artificial Intelligence. – Springer, Berlin, Heidelberg, 2010. – pp. 213-222.

4. Toan T. Q., Sorokin A. A., Trang V. T. H. Using modification of visibility-graph in solving the problem of finding shortest path for robot //2017 International Siberian Conference on Control and Communications (SIBCON). – IEEE, 2017. – pp. 1-6.

5. Ragi S., Mittelman H. D. Mixed-integer nonlinear programming formulation of a UAV path optimization problem //2017 American Control Conference (ACC). – IEEE, 2017. – pp. 406-411.

6. Borrelli F. et al. MILP and NLP techniques for centralized trajectory planning of multiple unmanned air vehicles //2006 American Control Conference. – IEEE, 2006. – p. 6.

7. Glover F. Improved linear integer programming formulations of nonlinear integer problems //Management Science. – 1975. – Т. 22. – №. 4. – pp. 455-460.

8. Ioan D. et al. Mixed-integer programming in motion planning //Annual Reviews in Control. – 2020. pp.85-87.

9. Silva Arantes J. et al. Heuristic and genetic algorithm approaches for UAV path planning under critical situation // International Journal on Artificial Intelligence Tools. – 2017. – Т. 26. – №. 01. – pp. 1760008.

10. Chen G., Cruz J. B. Genetic algorithm for task allocation in UAV cooperative control //AIAA Guidance, Navigation, and Control Conference and Exhibit. – 2003. – p. 5582.

11. Wilburn B. K., Perhinschi M. G., Wilburn J. N. A modified genetic algorithm for UAV trajectory tracking control laws optimization //International Journal of Intelligent Unmanned Systems. – 2014. pp. 58-90.

12. Vanegas G. et al. Smooth 3D path planning for non-holonomic UAVs //2018 7th International Conference on Systems and Control (ICSC). – IEEE, 2018. – pp. 1-6.

13. Bestaoui Y. 3D flyable curves for an autonomous aircraft //AIP Conference Proceedings. – American Institute of Physics, 2012. – Т. 1493. – №. 1. – pp. 132-139.

14. Винокурский Д. Л. и др. Планирование траектории группы беспилотных летательных аппаратов с использованием годографа Пифагора и составных кривых Бернштейна-Безье на плоскости //Вестник КРАУНЦ. Физико-математические науки. – 2020. – Т. 31. – №. 2. – С. 70-78.

15. Mehdi S. B. et al. Collision avoidance through path replanning using Bézier curves //AIAA Guidance, navigation, and control conference. – 2015. – p. 0598.

## References

1. Tong H. Procedia Engineering. 2012. T. 29. pp. 4198-4203.
2. Chen X., Chen X. The 26th chinese control and decision conference (2014 ccdc). IEEE, 2014. pp. 1069-1071.
3. Medeiros F. L. L., Da Silva J. D. S. Springer, Berlin, Heidelberg, 2010. pp. 213-222.
4. Toan T. Q., Sorokin A. A., Trang V. T. H. 2017 International Siberian Conference on Control and Communications (SIBCON). IEEE, 2017. pp. 1-6.
5. Ragi S., Mittelman H. D. 2017 American Control Conference (ACC). IEEE, 2017. pp. 406-411.
6. Borrelli F. et al. 2006 American Control Conference. IEEE, 2006. p. 6.
7. Glover F. Management Science. 1975. T. 22. №. 4. pp. 455-460.
8. Ioan D. et al. Annual Reviews in Control. 2020. pp.85-87.
9. Silva Arantes J. International Journal on Artificial Intelligence Tools. 2017. T. 26. №. 01. p. 1760008.
10. Chen G., Cruz J. B. AIAA Guidance, Navigation, and Control Conference and Exhibit. 2003. p. 5582.
11. Vanegas G. et al. Smooth 3D path planning for non-holonomic UAVs 2018 7th International Conference on Systems and Control (ICSC). IEEE, 2018. pp. 1-6.
12. Vanegas G. 2018 7th International Conference on Systems and Control (ICSC). IEEE, 2018. pp. 1-6.
13. Bestaoui Y. AIP Conference Proceedings. – American Institute of Physics, 2012. T. 1493. №. 1. pp. 132-139.
14. Vinokurskij D. L. Vestnik KRAUNC. Fiziko-matematicheskie nauki. 2020. T. 31. №. 2. pp. 70-78.
15. Mehdi S. B. et al. Guidance, navigation, and control conference. 2015. p. 0598.